

УДК 541.6:541.49

ИССЛЕДОВАНИЕ ЭЛЕКТРОННОЙ СТРУКТУРЫ  
ФТАЛОЦИАНИНА МЕДИ И ЕГО ФТОРЗАМЕЩЕННОГО АНАЛОГА  
МЕТОДОМ РЕНТГЕНОВСКОЙ АБСОРБЦИОННОЙ СПЕКТРОСКОПИИ

Г.И. Семушкина<sup>1</sup>, Л.Н. Мазалов<sup>1,3,4</sup>, Т.В. Басова<sup>1</sup>, Р.В. Гуляев<sup>2</sup>

<sup>1</sup>Институт неорганической химии им. А.В. Николаева СО РАН, Новосибирск  
E-mail: spectroscopy@mail.ru

<sup>2</sup>Институт катализа им. Г.К. Борескова СО РАН, Новосибирск

<sup>3</sup>Новосибирский государственный университет

<sup>4</sup>Новосибирский государственный технический университет

Статья поступила 22 августа 2012 г.

С доработки — 2 июля 2013 г.

Проведено исследование электронного строения незамещенного и гексадекафтормезеного фталоцианинов меди методом рентгеновской абсорбционной спектроскопии. Изучены L-спектры поглощения атома меди и K-спектры поглощения атомов углерода, азота и фтора незамещенного и гексадекафтормезеного фталоцианина меди. Сопоставление абсорбционных спектров в единой шкале энергий связи позволило оценить вклады АО всех атомов рассматриваемых соединений в нижние свободные молекулярные орбитали и определить порядок следования уровней, их энергии и наличие взаимодействия между отдельными атомами.

**Ключевые слова:** фталоцианины, рентгеновская абсорбционная спектроскопия, фотоэлектронная спектроскопия.

## ВВЕДЕНИЕ

В настоящее время наблюдается повышенный интерес к органическим соединениям, которые могут служить альтернативой полупроводниковым материалам. В современной макромолекулярной электронике в качестве элементов схем широко используются тонкие пленки из органических материалов [1], в том числе и пленочные структуры, построенные из молекул металлофталоцианинов [2]. Фталоцианины переходных металлов находят применение в фотовольтаических ячейках солнечных элементов [3, 4], газовых сенсорах [5, 6], молекулярных транзисторах [7] и др. В частности, тонкие пленки соответствующих соединений используют в качестве органических светоизлучающих диодов (organic light emitting diodes — OLED) [8]. Типичный светодиод имеет слоевую структуру, в состав которой, помимо электродов, входит дырокапроводящий слой, слой, блокирующий электроны, активный (эмиттирующий) слой, слой, блокирующий дырки и электронопроводящий слой. Вещества дырокапроводящего и электронопроводящего слоев должны обладать электронной и дырочной проводимостью, т.е. иметь строение энергетических уровней, сходное со строением зон в полупроводниках. В случае органических соединений соответствующая аналогия достигается выбором молекул с определенным строением высших занятых (ВЗМО) и низших свободных молекулярных орбиталей (НСМО). Энергетический интервал между уровнями НСМО и ВЗМО при этом будет определять оптические характеристики светоизлучающего молекулярного светодиода.

Фталоцианины переходных металлов являются синтетическими веществами, физические и химические свойства которых зависят от природы центрального атома металла (M), а также

Рис. 1. Структура молекулы металлофталоцианина MPcR<sub>16</sub> (R = H, F)

природы периферийных заместителей (R) в составе фталоцианинового лиганда (рис. 1). Важной особенностью фталоцианинов меди является изменение характера проводимости при введении заместителей (фтор) в фталоцианиновый лиганд. Так, CuPcH<sub>16</sub> обладает дырочной проводимостью, в то время как для CuPcF<sub>16</sub> характерна электронная проводимость [9]. Одной из причин изменения характера проводимости в ряду изучаемых пленочных материалов на основе фталоцианинов является изменение строения ВЗМО и НСМО комплексов при введении в бензольные кольца высокоотрицательных заместителей, приводящее к перераспределению электронной плотности, что, в свою очередь, приводит к изменению энергетического положения и атомного парциального состава соответствующих МО. В этой связи для оценки перспективности использования фталоцианинов переходных металлов с различными заместителями в качестве материалов для OLED актуальным является изучение энергетического спектра и строения ВЗМО и НСМО соответствующих соединений.

Ранее в [10] методами рентгеновской эмиссионной и рентгеноэлектронной спектроскопии было изучено строение ВЗМО рассматриваемых фталоцианиновых комплексов. В настоящей работе изучали энергетическое положение и парциальный атомный состав НСМО фталоцианина меди (CuPcH<sub>16</sub>) и его фторзамещенного аналога (CuPcF<sub>16</sub>) методом рентгеновской абсорбционной спектроскопии.

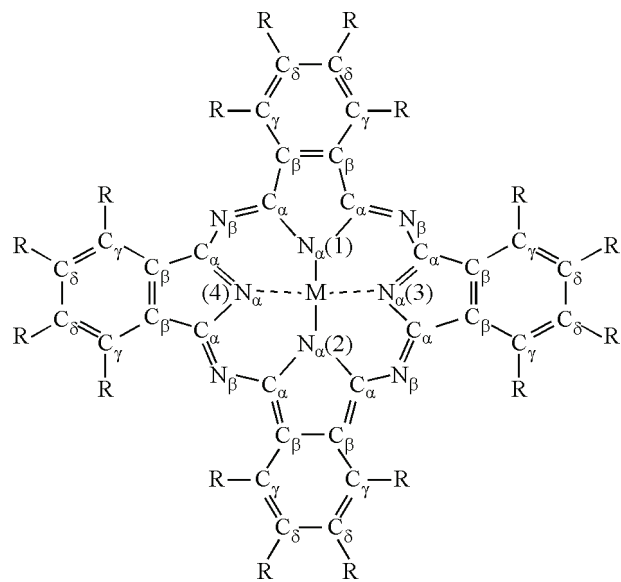
### ЭКСПЕРИМЕНТАЛЬНАЯ ЧАСТЬ

Рентгеновские спектры поглощения (*L*-спектр поглощения меди и *K*-спектры поглощения азота, углерода и фтора) исследуемых образцов были получены на российско-германском канале Берлинского центра синхротронного излучения (BESSY-II). Угол падения на образец пучка рентгеновского излучения, поляризованного в горизонтальной плоскости, составлял 56°. Спектральное разрешение ~0,1 эВ. Для регистрации рентгеновских спектров поглощения использовали метод полного квантового выхода рентгеновских фотоэлектронов. Спектральные данные были нормализованы к основному току фотоэлектронов от покрытой золотом сетки. Монохроматизация падающего излучения лучше, чем 80 мэВ. Остаточное давление газа в камере составляло 10<sup>-9</sup> Торр.

Рентгеновский *K*-спектр поглощения меди гексадекафторзамещенного фталоцианина меди был получен на универсальном рентгеновском спектрометре УРС-2И [11]. В качестве кристалла-анализатора использовали кварц (плоскость 1340, 2d = 2,36013 Å). Радиус изгиба кристалла — 1000 мм. Режим работы рентгеновской трубы: напряжение U = 24 кВ, ток I = 20 мА. Спектры регистрировались с помощью полупроводникового позиционного детектора фирмы ВМК—Оптоэлектроника [12]. Ошибка измерения энергетического положения *K*-края меди ~0,2 эВ.

### РЕЗУЛЬТАТЫ И ОБСУЖДЕНИЕ ЭКСПЕРИМЕНТАЛЬНЫХ ДАННЫХ

Рентгеновские спектры поглощения дают информацию об энергетическом спектре и симметрии НСМО изучаемых соединений [13—15]. Исследуя рентгеновские абсорбционные спектры различных серий (*K*, *L*-серии), а также различных атомов, входящих в состав изучаемых



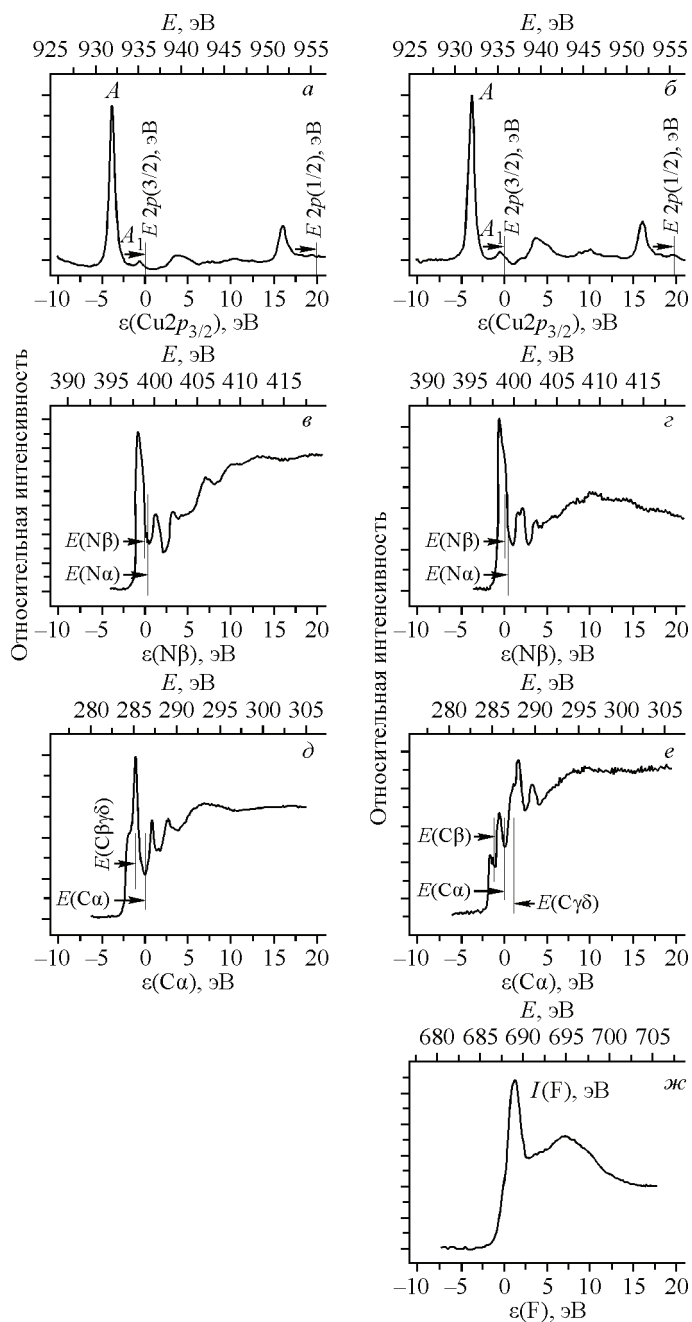


Рис. 2. Рентгеновские абсорбционные спектры CuPcH<sub>16</sub> (*L*-край поглощения меди (*a*), *K*-край поглощения N (*в*), *K*-край поглощения C (*д*)) и рентгеновские абсорбционные спектры CuPcF<sub>16</sub> (*L*-край поглощения Cu (*б*), *K*-край поглощения N (*в*), *K*-край поглощения C (*е*), *K*-край поглощения F (*ж*))

комплексов, можно получить сведения об участии валентных АО тех или иных атомов в построении НСМО.

В настоящей работе были изучены рентгеновские *L*-спектры поглощения (*2p*—*3d*-абсорбционные переходы) и *K*-спектры поглощения (*1s*—*4p*-абсорбционные переходы) атома меди и *K*-спектры поглощения (*1s*—*2p*-абсорбционный переход) атомов углерода, азота, фтора в комплексах CuPcH<sub>16</sub> и CuPcF<sub>16</sub>. Полученные спектры (рис. 2) изображены в единой шкале энергий связи. На соответствующих рисунках приведены также абсолютные энергии рентгеновских або-

## Энергии связи (эВ) внутренних уровней для фталоцианинов переходных металлов

Соединение	Энергия, эВ								
	C(1s)				N(1s)		M(3s)	M(2p)	F(1s)
	C $\alpha$	C $\beta$	C $\gamma$	C $\delta$	N $\alpha$	N $\beta$			
CuPcH <sub>16</sub>	286,3	285,1			399,3	398,9	125,6	935,8	—
CuPcF <sub>16</sub>	286,4	285,1	287,5		399,3	398,9	125,3	935,8	687,8

сорбционных переходов ( $E = h\nu$ ). Взаимная энергетическая привязка спектров к уровню вакуума осуществлялась с помощью рентгеновских фотоэлектронных спектров, позволяющих определить энергии связи внутренних уровней атомов ( $2p_{3/2}$  (M), 1s (C), 1s (N), 1s (F)), входящих в состав комплексов (см. таблицу) [16].

На рис. 3 приведена схема рентгеновских и рентгеноэлектронных переходов для атома меди, а также атомов углерода, азота и фтора, входящих в состав изучаемых комплексов фталоцианинов. В связи с тем, что атомы азота и углерода в комплексах фталоцианинов находятся в неэквивалентных положениях (см. рис. 1), то каждой из группы неэквивалентных атомов будет отвечать соответствующая энергия связи 1s-уровня. Так, в рассматриваемых комплексах имеется четыре вида атомов углерода (C $\alpha$ , C $\beta$ , C $\gamma$ , C $\delta$ ), а также два типа атомов азота (N $\alpha$  и N $\beta$ ). Энергии связи 1s-уровней соответствующих атомов приведены в таблице.

ВЗМО и НСМО изучаемых комплексов фталоцианинов меди построены с участием как АО центрального атома металла, так и АО атомов, входящих в его окружение. В общем случае соответствующие МО могут быть представлены в виде:

$$\Psi_i(\text{НСМО}) = \sum_k C_{ik} \Psi_k(\text{M}) + \sum_k C_{ik} \Psi_k(\text{C}_\alpha) + \sum_k C_{ik} \Psi_k(\text{C}_\beta) + \sum_k C_{ik} \Psi_k(\text{C}_\gamma) + \sum_k C_{ik} \Psi_k(\text{C}_\delta) + \sum_k C_{ik} \Psi_k(\text{N}_\alpha) + \sum_k C_{ik} \Psi_k(\text{N}_\beta) + \sum_k C_{ik} \Psi_k(\text{F}), \quad (1)$$

где индекс  $i$  относится к некоторой  $i$ -ой незанятой НСМО; индекс  $k$  — соответствует той или

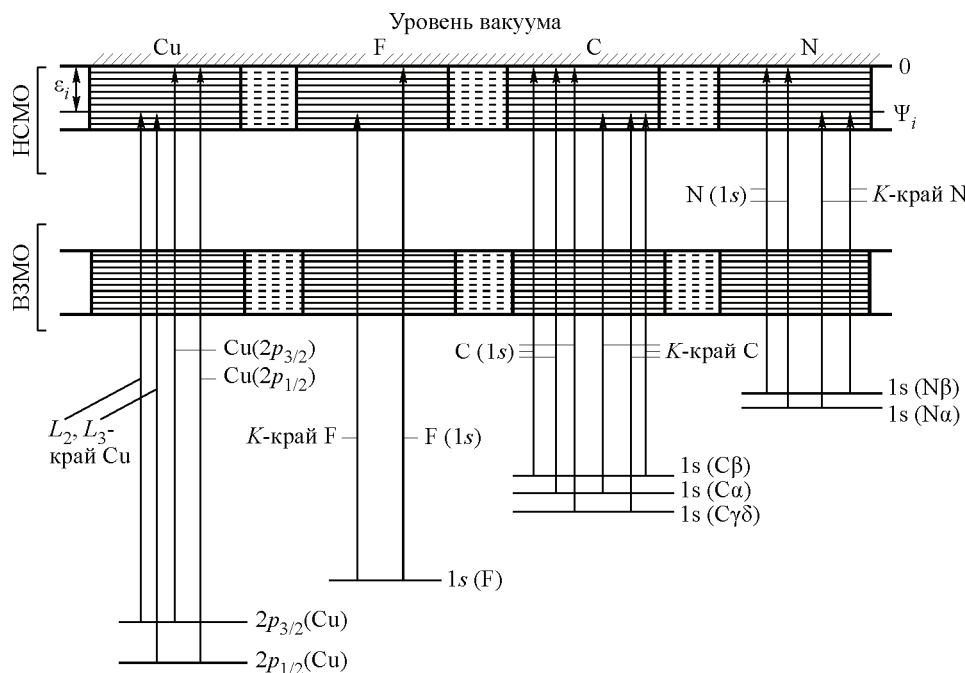


Рис. 3. Схема рентгеновских переходов для атома меди, фтора, углерода и азота во фталоцианинах меди.  
На этом рисунке выделена одна из НСМО (Ψ<sub>i</sub>-орбиталь с энергией ε<sub>i</sub>)

иной АО меди ( $3s$ ,  $3p$ ,  $3d$ ,  $4s$ ), а также валентным  $2p$ -АО атомов углерода ( $C\alpha$ ,  $C\beta$ ,  $C\gamma$ ,  $C\delta$ ), азота ( $N\alpha$ ,  $N\beta$ ) и фтора ( $F$ ).

Так как в рентгеновских абсорбционных переходах принимают участие электроны, локализованные на глубоких атомоподобных внутренних АО ( $2p(Cu)$ ,  $1s(C)$ ,  $1s(N)$  и  $1s(F)$ ) соответствующих атомов, то в рентгеновских спектрах отдельных атомов будут проявляться только те из НСМО, которые построены с участием валентных АО, спектр которых изучается.

Таким образом, вследствие атомной характеристичности рентгеновских спектров и атомным правилам отбора, в рентгеновских спектрах поглощения будут проявляться только те МО, которые включают АО определенной симметрии и принадлежат атому, спектры которого изучаются [17].

На рис. 2 и 4 приведены рентгеновские  $L$ -спектры поглощения атома меди и  $K$ -спектры поглощения атомов углерода, азота и фтора незамещенного и гексадекафтормзамещенного фталоцианинов меди. Сопоставление полученных спектров позволяет определить строение НСМО изучаемых комплексов и их изменения при введении высокоотрицательных заместителей в бензольные циклы (кольца) фталоцианинов ( $CuPcF_{16}$ ) (см. рис. 1).

#### РЕНТГЕНОВСКИЕ СПЕКТРЫ ПОГЛОЩЕНИЯ $CuPcH_{16}$

**$L$ -спектры поглощения Cu.** Как видно из рис. 4, б, в спектре поглощения меди наблюдается резкий узкий максимум поглощения ( $A$ ), который связан с переходом на низшую свободную МО комплекса. Большая интенсивность этого пика по сравнению с другими особенностями, проявляющимися в рассматриваемом спектре, показывает, что низшая свободная орбиталь локализована на атоме меди и основной вклад в нее вносят  $3d$ -АО меди. Малоинтенсивный максимум поглощения  $A_1$ , следующий за интенсивным максимумом  $A$ , как видно из рисунка, по своему энергетическому положению близок к интенсивному максимуму поглощения  $A_1$ , проявляющемуся в  $K$ -спектрах поглощения углерода и азота, которые отвечают рентгеновским переходам на НСМО, построенные с участием  $2p$ -АО углерода и азота.

Таким образом, более высокоэнергетические орбитали (максимум  $A_1$ ), следующие за низшей НСМО (максимум  $A$ ), имеют небольшой вклад  $3d$ -АО металла и построены в основном из  $2p$ -АО атомов углерода и азота, входящих в пиррольный макроцикл комплекса.

**$K$ -спектры поглощения углерода.** Как было описано выше, в рассматриваемых комплексах фталоцианинов меди имеется несколько неэквивалентных групп атомов углерода ( $C\alpha$ ,  $C\beta$ ,  $C\gamma$ ,  $C\delta$ ) [18, 19], соответственно, энергии глубоких  $1s$ -уровней атомов углерода, принадлежащих этим группам, различны (см. таблицу). В этой связи экспериментально наблюдаемый  $K$ -спектр поглощения углерода будет являться суперпозицией  $K$ -спектров поглощения, отвечающих отдельным группам атомов углерода. Энергетическое положение НСМО, в которых имеются вклады  $2p$ -АО атомов углерода, принадлежащие различным группам ( $C\alpha$ ,  $C\beta$ ,  $C\gamma$ ,  $C\delta$ ), определяются относительно уровня вакуума (предела ионизации) (см. рис. 3). Так как  $1s$ -уровни этих атомов имеют различающиеся энергии связи, то в суперпозиционном экспериментальном спектре положение уровней вакуума для каждой группы атомов углерода будет различным. Положение соответствующих пределов показано на рис. 2, д для незамещенного фталоцианина меди.

Согласно соотношению (1), каждая НСМО ( $\Psi_i$ -НСМО), построенная с участием валентных АО различных групп атомов углерода ( $C\alpha$ ,  $C\beta$ ,  $C\gamma$ ,  $C\delta$ ), будет проявляться в рентгеновских абсорбционных спектрах каждого типа атомов углерода. В этой связи,  $K$ -спектры поглощения различных групп атомов углерода будут смешены относительно друг друга на общей шкале энергии связи на величину энергетических смещений внутренних  $1s$ -уровней соответствующих атомов углеродов.

Наибольшую энергию связи имеют  $1s$ -уровни атомов углерода, принадлежащие к группе  $C\alpha$  (286,3 эВ). Энергии  $1s$ -уровней атомов углерода, входящих в группы  $C\beta$ ,  $C\gamma$  и  $C\delta$ , в пределах точности эксперимента, совпадают (285,1 эВ).

Одноэлектронные энергии  $\varepsilon_i$  незанятых орбиталей молекулы обычно отсчитываются от уровня вакуума. Энергия свободных незанятых уровней  $\varepsilon_i$  и энергии, соответствующие им, рентгеновских абсорбционных переходов  $h\nu_i$ , связаны соотношением:

$$\varepsilon_i = I_i(1s) - (h\nu)_i, \quad (2)$$

где  $I_i(1s)$  — потенциал ионизации  $1s$ -уровня атома, спектр которого рассматривается.

Согласно (2), энергетическое положение  $i$ -го уровня  $\varepsilon_i$  в экспериментальном спектре поглощения на шкале энергий рентгеновских переходов  $h\nu_i$  зависит от энергии связи (потенциала ионизации) внутреннего  $1s$ -уровня ( $I_i(1s)$ ).

В этой связи на рис. 4, *г* нанесены положения потенциалов ионизации внутренних  $1s$ -уровней двух групп атомов углерода  $I(C\alpha(1s))$  и  $I(C\beta(1s), C\gamma(1s), C\delta(1s))$  для незамещенного фталоцианина меди.

Следовательно, для того чтобы определить область расположения свободных MO, в которых имеется вклад  $C\alpha$  атомов углерода и  $3d$ -АО атома меди, необходимо границу, соответствующую потенциальному ионизации  $I(C\alpha)$ , совместить с уровнем вакуума  $L$ -спектра меди. Аналогично, для определения положения уровней атомов углерода  $I(C\beta, C\gamma, C\delta)$  относительно  $L$ -спектра металла соответствующая граница  $I(C\beta, C\gamma, C\delta)$  в  $K$ -спектре поглощения должна быть совмещена с границей вакуума в  $L$ -спектре поглощения металла (см. рис. 5, *г* — пунктирная линия).

Таким образом, сопоставляя  $L$ -спектры металла и углерода, можно видеть, что начальная область рентгеновского  $K$ -спектра поглощения углерода соответствует незанятым уровням, в которых имеется вклад атома углерода ( $C\alpha$ ). При этом эта начальная область в спектре углерода по своему энергетическому положению соответствует малоинтенсивному максимуму  $A_1$  в  $L$ -спектре металла, что может свидетельствовать, что низшие свободные MO, построенные с участием  $3d$ -АО металла и  $2p$ -АО углерода, располагаются выше интенсивного максимума  $A$  в  $L$ -спектре поглощения меди. Совмещение предела ионизации атомов углерода второй группы ( $C\beta, C\gamma, C\delta$ ) с уровнем вакуума в  $L$ -спектре металла показывает, что область расположения незанятых MO соответствующих атомов углерода лежит выше явно выделяющихся особенностей в  $L$ -спектре поглощения меди, из чего можно сделать вывод, что соответствующие НСМО имеют незначительные вклады  $3d$ -АО металла.

**$K$ -спектры поглощения азота.** Проводя аналогичное сопоставление  $K$ -спектров поглощения азота и  $L$ -спектров поглощения меди, можно видеть, что энергетическое положение незанятых уровней, в которых имеются вклады  $2p$ -АО азота и  $3d$ -металла, соответствуют максимуму  $A_1$  в спектре металла (см. рис. 4, *б*, *в*).

**$K$ -спектр поглощения Cu.** На рис. 4, *а* приведен  $K$ -спектр поглощения меди ( $1s$ — $4p$ -абсорбционные переходы), полученный в европейском центре синхротронного излучения (ESRF) [20], который характеризует участие в НСМО  $4p$ -АО меди. Как видно из рисунка, при сопоставлении  $K$ - и  $L$ -спектров меди в  $CuPcH_{16}$ , предкраевая структура  $K$ -края поглощения может быть сопоставлена с интенсивным максимумом  $A$  в  $L$ -спектре поглощения  $CuPcH_{16}$ , что свидетельствует об участии в построении низших свободных MO не только  $3d$ -АО металла, но и  $4p$ -АО.

Таким образом, проведенное сопоставление рентгеновских  $K$ - и  $L$ -краев поглощения атома металла и  $K$ -краев поглощения атомов углерода и азота показывают, что НСМО построена в основном из  $3d$ - и  $4p$ -АО меди, далее следуют свободные MO, в которых имеется небольшой вклад  $3d$ -АО металла, а также  $2p$ -АО атомов углерода ( $C\alpha$ ) и азота ( $N\alpha$  и  $N\beta$ ), находящихся в ближайшем окружении атома металла. Свободные MO, примыкающие к уровню вакуума, построены в основном из  $2p$ -АО атомов углерода, расположенных во внешних областях фталоцианинового металлокомплекса. Структура  $K$ -краев поглощения атомов углерода и азота, находящаяся выше пределов ионизации, обусловлена процессами рассеяния выбитого рентгеноэлектрона на атомах ближайшего окружения.

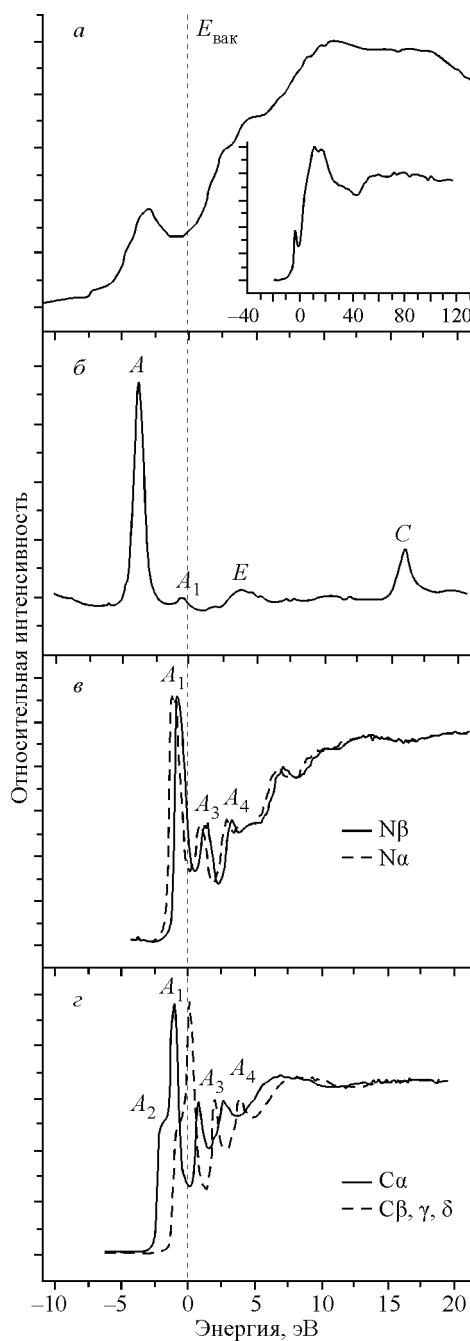


Рис. 4. Cu1s (а), Cu2p<sub>3/2,1/2</sub> (б) и N1s (в), C1s (г) абсорбционные спектры CuPcH<sub>16</sub>

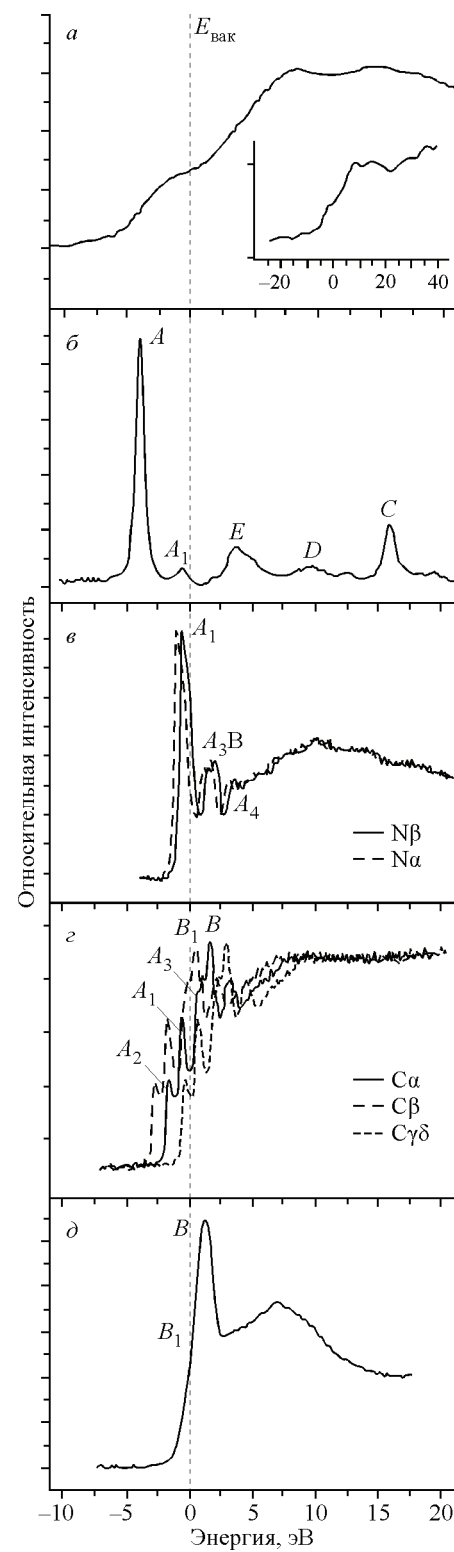


Рис. 5. Cu1s (а), Cu2p<sub>3/2,1/2</sub> (б) и N1s (в), C1s (г) и F1s (д) абсорбционные спектры CuPcF<sub>16</sub>

## РЕНТГЕНОВСКИЕ СПЕКТРЫ ПОГЛОЩЕНИЯ CuPcF<sub>16</sub>

На рис. 2 приведены рентгеновские *L*-спектры поглощения меди (см. рис. 2, *b*), а также рентгеновские спектры азота (см. рис. 2, *c*), углерода (см. рис. 2, *e*) и фтора (см. рис. 2, *ж*). Из сопоставления спектров CuPcH<sub>16</sub> и его фторированного аналога CuPcF<sub>16</sub> видно, что *L*-спектры меди подобны. Энергетическое положение НСМО остается неизменным при переходе от CuPcH<sub>16</sub> к CuPcF<sub>16</sub> (см. таблицу М(2*p*)). Это подтверждает факт значительной локализации рассматриваемой НСМО на атоме металла, что обуславливает ее слабую зависимость от характера ближайшего окружения. Структуры главного *K*-края атома азота в рассматриваемых комплексах также подобны, в то время как *K*-края углерода во фторзамещенных фталоцианиновых комплексах значительно различаются. При замещении атомов водорода атомами фтора значительно возрастает энергия связи 1*s*-уровней атомов углерода С<sub>уд</sub> (287,5 эВ), непосредственно взаимодействующих с атомами фтора (см. таблицу). На рис. 2, *e* показано положения пределов ионизации неэквивалентных групп атомов углерода CuPcF<sub>16</sub>.

***K*-спектры поглощения углерода.** Совмещение пределов ионизации соответствующих различным типам атомов углерода с уровнем вакуума, отмеченным на энергетической шкале *L*-спектра поглощения металла, позволяет определить область расположения незанятых МО, построенных с участием 2*p*-АО соответствующих групп атомов углерода (рис. 5). Так, совмещая предел ионизации отвечающий атомам углерода, принадлежащим группе Сα, можно видеть, что максимуму *A*<sub>1</sub> в *L*-спектре меди отвечает энергетическая область в *K*-спектре углерода, соответствующая МО, которые построены из 2*p*-АО атомов углерода Сα. Этому же максимуму *A*<sub>1</sub> в *L*-спектрах металла будет соответствовать и область расположения МО, построенных с участием 2*p*-АО атомов углерода Сβ. Совмещение предела ионизации, отвечающего атомам углерода Сγ и Сδ, с пределом ионизации в *L*-спектре поглощения меди, показывает, что МО, которые могут быть построены с участием 2*p*-АО атомов углерода Сγ и Сδ, попадают в область расположения максимума *A* и *A*<sub>1</sub> в *L*-спектре поглощения металла. Это свидетельствует о наличии в этой области свободных МО, построенных с участием 2*p*-АО атомов углерода Сγ, Сδ и 3*d*-АО меди.

Молекулярные свободные орбитали, построенные с участием 2*p*-АО фтора, могут быть построены как с участием 2*p*-АО атомов углерода Сγ и Сδ, так и с атомами углерода Сα и Сβ, образующими ближайшее окружение атома металла.

***K*-спектр поглощения Cu.** На рис. 5, *a* приведен *K*-спектр поглощения меди гексадекафторзамещенного фталоцианина меди, полученный на установке УРС-2И. Характер распределения интенсивностей и энергетическое положение рентгеновского спектра поглощения меди, как было описано выше, содержит информацию о структуре НСМО, построенных с участием 4*p*-электронов металла. Как видно из рисунка, при сопоставлении *K*- и *L*-спектров меди в CuPcF<sub>16</sub>, предкраевая структура *K*-края поглощения соотносится по энергетическому положению с низкоинтенсивным максимумом *A*<sub>1</sub> в *L*-спектре поглощения, что свидетельствует об участии в построении НСМО данной энергии (-1,9 эВ) 4*p*-АО металла наряду с 2*p*-АО азота и 2*p*-АО углерода.

Таким образом, во фторзамещенных фталоцианинах НСМО комплекса построены с участием 2*p*-АО атомов фтора, что может быть связано с наличием в рассмотренном комплексе делокализованных π-орбиталей с участием *pπ*-орбиталей атомов углерода, принадлежащих группам α, β, γ, δ, а также *pπ*-орбиталей атомов азота α и β. Важным обстоятельством, которое следует из проведенного сопоставления спектров поглощения углерода и металла во фторзамещенных фталоцианинах, является возможность взаимодействия 3*d*-АО металла и 2*p*-АО атома углерода, находящихся на периферии комплекса.

## ВЫВОДЫ

Проведенное сопоставление рентгеновских краев поглощения показывает, что НСМО незамещенного фталоцианина меди построены в основном из 3*d*-АО меди, далее следуют свободные МО, в которых имеется небольшой вклад 3*d*-АО металла, а также 2*p*-АО атомов углерода (Сα)

и азота ( $\text{N}\alpha$ ,  $\text{N}\beta$ ). В случае гексадекафторметаллоцианина НСМО комплекса построены с участием  $2p$ -АО атомов фтора, что может быть связано с наличием в рассмотренном комплексе делокализованных  $\pi$ -орбиталей с участием  $p\pi$ -орбиталей атомов углерода, принадлежащих группам  $\alpha$ ,  $\beta$ ,  $\gamma$ ,  $\delta$ , а также  $p\pi$ -орбиталей атомов азота  $\alpha$  и  $\beta$ . Важным отличием между незамещенным фталоцианином и его фторзамещенным аналогом является наличие взаимодействия  $3d$ -АО металла и  $2p$ -АО атома углерода, находящихся на периферии комплекса.

Авторы выражают благодарность администрации синхротрона BESSY II, принадлежащего HZB-Berlin, а также координаторам российско-германской лаборатории синхротрона BESSY и А.В. Окотрубу, Ю.В. Федосеевой за помощь в получении спектров.

Работа выполнена при поддержке гранта Российского фонда фундаментальных исследований 12-02-31588-мол\_а.

#### СПИСОК ЛИТЕРАТУРЫ

1. Щука А.А. Наноэлектроника: учебное пособие. – М.: БИНОМ. Лаборатория знаний, 2012.
2. Yuto Tomita. Alternative transparent electrodes for organic light emitting diodes. – Dresden, 2008.
3. Waltera M.G., Rudine A.B., Wamser C.C. // J. Porphyrins Phthalocyanines. – 2010. – **14**. – P. 759 – 792.
4. Solar Energy / Ed. Radu D Rugescu. – InTech, 2010.
5. Bohrer Forest I., Colesniuc Corneliu N., Park Jeongwon, Schuller Ivan K., Kummel Andrew C., Trogler William C. // J. Amer. Chem. Soc. – 2008. – **130**, N 12. – P. 3712 – 3713.
6. Bohrer Forest I., Sharoni Amos, Colesniuc Corneliu N., Park Jeongwon, Schuller Ivan K., Kummel Andrew C., Trogler William C. // J. Amer. Chem. Soc. – 2007. – **129**, N 17. – P. 5640 – 5646.
7. Haibo Wang, Donghang Yan // NPG Asia Mater. – 2010. – **2**, N 2. – P. 69 – 78.
8. Разумов В.Ф., Алфимов М.В. // Труды МФТИ. – 2011. – **3**, № 4. – С. 22 – 32.
9. Yang R.D., Park J., Colesniuc C.N., Schuller I.K., Royer J.E., Trogler W.C., Kummel A.C. // J. Chem. Phys. – 2009. – **130**. – P. 164703 (1 – 8).
10. Мазалов Л.Н., Семушкина Г.И., Лаврухина С.А., Коротаев Е.В., Боронин А.И., Гуляев Р.В., Басова Т.В. // Журн. структур. химии. – 2012. – **53**, № 6. – С. 1074 – 1083.
11. Лабусов В.А., Мазалов Л.Н., Попов В.И., Фоменко С.В., Селюнин Д.О., Мищенко И.В., Бехтерев А.В. // Материалы IX Международного симпозиума: Применение анализаторов МАЭС в промышленности. – Новосибирск, 2008.
12. Лабусов В.А., Мазалов Л.Н., Фоменко С.В., Селютин Д.О. // Автометрия. – 2009. – **45**, № 3. – С. 53 – 61.
13. Cook Peter L., Yang Wanli, Liu Xiaosong, García-Lastra Juan María, Rubio Angel, Himpel F.J. // J. Chem. Phys. – 2011. – **134**. – P. 204707 (1 – 7).
14. Krasnikov S.A., Preobrajenski A.B., Sergeeva N.N., Brzhezinskaya M.M., Nesterov M.A., Cafolla A.A., Senge M.O., Vinogradov A.S. // Chem. Phys. – 2007. – **332**. – P. 318 – 324.
15. Cook Peter L., Liu Xiaosong, Yang Wanli, Himpel F.J. // J. Chem. Phys. – 2009. – **131**. – P. 194701 (1 – 10).
16. Гуляев Р.В., Крючкова Н.А., Мазалов Л.Н., Боронин А.И., Басова Т.В., Пляшкевич В.А. // Поверхность. Рентгеновские, синхротронные и нейтронные исследования. – 2011. – № 1. – С. 1 – 9.
17. Мазалов Л.Н., Юматов В.Д., Мурахтанов В.В. Рентгеновские спектры молекул. – Новосибирск: Hayka, 1977.
18. Ottaviano L., Lozzi L., Ramondo F., Picozzi P., Santucci S. // J. Electron Spectr. Rel. Phenom. – 1999. – **105**. – P. 145 – 154.
19. Fabrizio Evangelista, Vincenzo Carravetta, Giovanni Stefani, Branislav Jansik, Michele Alagia, Stefano Stranges Alessandro Ruocco // J. Chem. Phys. – 2007. – **126**. – P. 124709 (1 – 10).
20. Chaboy J., Muñoz-Páez A., Carrera F., Merkling P., Marcos E.S. // Phys. Rev. – 2005. – **71**. – P. 134208 (1 – 7).